

УДК 543.28

## РАЗРАБОТКА СХЕМЫ ЭКСПРЕСС-АНАЛИЗА МОРСКОЙ ВОДЫ НА $^{90}\text{Sr}$

П.С. Буткалюк, Ю.А. Сапожников

(кафедра радиохимии; e-mail: YAS@radio.chem.msu.ru)

**Показано, что с помощью  $\text{Y}_2\text{O}_3$ ,  $\text{YF}_3$ ,  $\text{LaF}_3$  и  $\text{CeF}_3$  возможно концентрирование  $^{90}\text{Y}$  из морской воды. Для определения  $^{90}\text{Sr}$  наилучшим образом подходит  $\text{YF}_3$ , так как в этом случае влияние мешающих радиоактивных изотопов свинца и тория минимально. Для устранения влияния  $^{210}\text{Bi}$  предложено использовать предварительное концентрирование его  $\text{PbS}$ . Для определения  $^{90}\text{Sr}$  предложено измерять интенсивность черенковского излучения дочернего  $^{90}\text{Y}$ , сконцентрированного на  $\text{YF}_3$ , без предварительного элюирования.**

**Ключевые слова:**  $^{90}\text{Sr}$ ,  $\text{YF}_3$ , морская вода, черенковское излучение.

Со времени первых испытаний ядерного оружия и по сегодняшний день мониторинг объектов окружающей среды на содержание техногенных радионуклидов остается актуальной экологической задачей. К наиболее токсичным радионуклидам принадлежит  $^{90}\text{Sr}$ , он геохимически довольно подвижен и обладает значительным периодом полураспада (28 лет). Попадая в организм человека,  $^{90}\text{Sr}$  концентрируется в костной ткани, вызывая хроническое облучение кроветворных органов. Поэтому очень важно проводить мониторинг его содержания вблизи мест захоронения радиоактивных отходов в океане [1]. Несмотря на широкое разнообразие подходов к определению концентрации  $^{90}\text{Sr}$ , методы, применяющиеся для его определения в морской воде, предполагают доставку проб в лабораторию. В условиях экспедиции проводится лишь предварительное концентрирование фракции щелочно-земельных элементов. Но как концентрирование, так и транспортировка проб из отдаленных районов, представляют собой непростые задачи.

Цель данной работы – исследование возможности создания методики экспресс-анализа морской воды на содержание  $^{90}\text{Sr}$  на основе измерения черенковского излучения  $^{90}\text{Y}$ , сконцентрированного на колонках с некоторыми труднорастворимыми соединениями РЗЭ, позволяющей проводить анализ в полевых условиях и не требующей значительного расхода реактивов и времени. В качестве таких соединений исследовали  $\text{YF}_3$ ,  $\text{LaF}_3$ ,  $\text{CeF}_3$  и  $\text{Y}_2\text{O}_3$ .

Фториды иттрия, церия и лантана получали осаждением при приливании 1 М растворов  $\text{Me}^{\text{III}}(\text{NO}_3)_3$  к 3 М раствору  $\text{NH}_4\text{F}$ , взятому с 10%-м избытком. Затем осадки фильтровали, промывали дистиллированной водой и высушивали при 150°C в течение

1-2 ч. Оксид иттрия был взят промышленного производства (“х.ч.”). Сульфиды железа (II), никеля (II) и свинца (II) получали приливанием 0,5 М растворов  $\text{Me}^{\text{II}}(\text{NO}_3)_2$  к 1 М раствору  $(\text{NH}_4)_2\text{S}$ , взятому в 75%-м избытке и подкисленному 20%-м раствором  $\text{AcOH}$ . Осадки оставляли на ночь для созревания, затем фильтровали, промывали 5%-м раствором  $\text{AcOH}$ , затем дистиллированной водой и высушивали на воздухе. Растворы  $\text{Y}(\text{NO}_3)_3$ ,  $\text{Bi}(\text{NO}_3)_3$  и  $\text{Pb}(\text{NO}_3)_2$  были получены растворением навесок соответствующих препаратов (“ч.д.а.”) и последовательным разбавлением растворов. Ионную силу создавали растворами  $\text{KCl}$  и  $\text{NaCl}$ , pH задавали ацетатным буфером и корректировали добавлением разбавленных растворов  $\text{HCl}$  или  $\text{NaOH}$ . В предварительных экспериментах в качестве метки использовали изотоп  $^{88}\text{Y}$ , обладающий удобным периодом полураспада (107 дней) и позволяющий проводить гамма-спектрометрические измерения. Измерения активности  $^{88}\text{Y}$ ,  $^{207}\text{Bi}$  и некоторых других радионуклидов проводили на гамма-спектрометре с полупроводниковым детектором “GC-3020” (“Canberra”), изготовленным из сверхчистого германия. Измерения активности  $^{90}\text{Sr}/^{90}\text{Y}$  проводили на жидкостно-сцинтиляционном спектрометре “Tri-Carb 2700-TR” (“Packard”).

Эксперименты проводили по следующей схеме: в тефлоновые флаконы помещали известные навески препаратов, приливали раствор заданного состава, интенсивно перемешивали, отделяли твердую фазу фильтрованием, измеряли  $\gamma$ -спектр твердой фазы. Активность радионуклидов определяли по площади самого интенсивного пика полного поглощения в полученном спектре (линии 0,89 и 0,57 МэВ для  $^{88}\text{Y}$  и  $^{207}\text{Bi}$  соответственно). Полученное значение сравни-

вали с результатами контрольного опыта. Для контрольного опыта измеряли активности тех же радионуклидов, нанесенных на навески исследуемых препаратов той же массы для учета поглощения  $\gamma$ -квантов. Все измерения проводили в одной и той же геометрии.

Схема модельных экспериментов была следующей: колонки с инертным носителем (1 и 50 мл) дважды поочередно пропитывали растворами  $\text{Me}^{\text{III}}(\text{NO}_3)_3$  (0,1 М) и  $\text{NH}_4\text{F}$  (0,3 М). Через колонки пропускали соответственно 20 мл и 1 л морской воды из Белого моря, содержащей предварительно внесенный  $^{90}\text{Sr}$ , находящийся в равновесии с  $^{90}\text{Y}$ . Далее колонки промывали дистиллированной водой и проводили элюирование  $^{90}\text{Y}$  смесью азотной и борной кислот (20%  $\text{HNO}_3$  + 5%  $\text{H}_3\text{BO}_3$ ). Активность  $^{90}\text{Y}$  в элюате измеряли по черенковскому излучению. Из полученного значения вычитали фон прибора.

Для изучения кинетических особенностей взаимодействия разбавленных растворов иттрия определяли зависимость степени извлечения иттрия в твердую фазу от времени контакта фаз. Полученные данные свидетельствуют о том, что в случае фторидов Y, La

и Ce равновесие достигается почти мгновенно и соответствует количественному извлечению Y(III) в твердую фазу. Для оксида иттрия зависимость несколько сложнее (рис. 1). Было показано, что степень извлечения Y(III) оксидом иттрия понижается при уменьшении pH и увеличении исходной концентрации Y(III) в растворе. Для фторидов Y, La и Ce таких закономерностей обнаружено не было (рис. 2). Путем варьирования концентрации электролита было показано, что для всех исследуемых препаратов степень извлечения иттрия в твердую фазу не зависит от ионной силы раствора, следовательно, методику можно использовать как для пресной, так и для морской воды.

При проведении экспериментов в динамических условиях было установлено, что для количественного выделения  $^{90}\text{Y}$  достаточно небольшого количества исследуемых препаратов, нанесенных на инертный носитель для предотвращения освальдовского созревания кристаллов. Так, из табл. 1 видно, что во всех экспериментах  $^{90}\text{Y}$  почти количественно задерживается на колонке при пропускании через нее морской воды. Хорошо элюируется  $^{90}\text{Y}$  только из колонок, заполненных полиэтиленом и силикагелем. В качестве

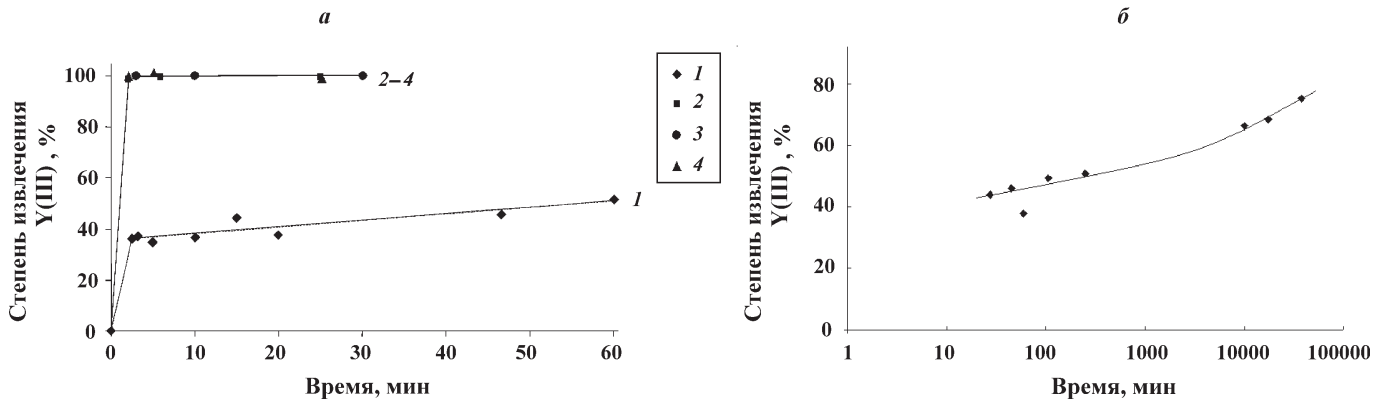


Рис. 1. Зависимость степени извлечения иттрия от времени контакта фаз: *а* – в начальный период времени; *б* – при более длительном контакте фаз (только для  $\text{Y}_2\text{O}_3$ ). Исходная концентрация  $\text{Y}(\text{NO}_3)_3$   $5 \cdot 10^{-7}$  М, концентрация  $\text{NaCl}$  3,5% (*1* –  $\text{Y}_2\text{O}_3$ , *2* –  $\text{YF}_3$ , *3* –  $\text{CeF}_3$ , *4* –  $\text{LaF}_3$ )

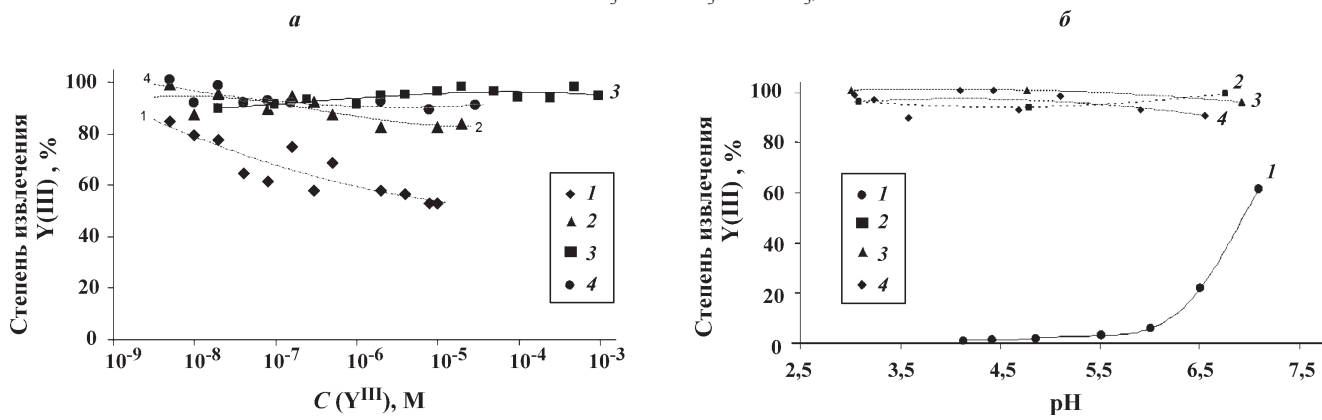
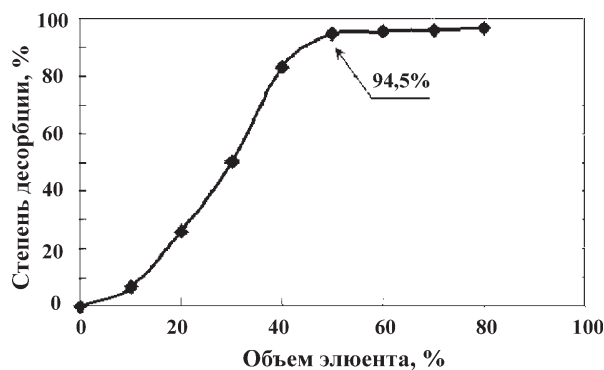


Рис. 2. Зависимость степени извлечения Y(III): *а* – от исходной концентрации; *б* – от pH раствора (*1* –  $\text{Y}_2\text{O}_3$ , *2* –  $\text{CeF}_3$ , *3* –  $\text{LaF}_3$ , *4* –  $\text{YF}_3$ )

Рис. 3. Элюирование  $^{90}\text{Y}$  из колонок

элюента подходит смесь азотной и борной кислот состава 20%  $\text{HNO}_3$  + 5%  $\text{H}_3\text{BO}_3$ , так как обеспечивает быстрое и полное элюирование  $^{90}\text{Y}$  путем растворения фторидов РЗЭ, находящихся в колонках, при объемах, равных колоночным (рис. 3).

Использование в качестве электролита растворов KCl различной концентрации позволило установить, что ни один из исследованных препаратов не извлекает ионы калия из раствора (табл. 2). Следовательно, наличие  $^{40}\text{K}$  в морской воде не будет мешать определению  $^{90}\text{Y}$  по черенковскому излучению. Кроме  $^{40}\text{K}$  в морской воде содержится немало других радионуклидов естественного происхождения, но вызывать черенковское излучение в воде способны лишь немногие из них, а именно: радиоактивные изотопы висмута ( $^{214}\text{Bi}$ ,  $^{212}\text{Bi}$ ,  $^{210}\text{Bi}$ ), свинца ( $^{214}\text{Pb}$ ,  $^{212}\text{Pb}$ ,  $^{211}\text{Pb}$ ) и протактиния (короткоживущий  $^{234m}\text{Pa}$ , образующийся из  $^{234}\text{Th}$ ). В ходе проведенных экспериментов (табл. 2) было обнаружено, что наибольшие проблемы создает почти количественное извлечение висмута, что, возможно, связано с близостью радиусов ионов  $\text{Y}^{3+}$  и  $\text{Bi}^{3+}$ , а также с одинаковым кристаллическим строением  $\text{BiF}_3$  и  $\text{YF}_3$  [2]. В ходе работы было предложено устранить влияние мешающих определению  $^{90}\text{Y}$  изотопов висмута предвари-

Таблица 1

## Результаты динамических экспериментов

| Соединение     | Носитель         | Извлечение $^{90}\text{Y}$ , % | Элюирование $^{90}\text{Y}$ , % |
|----------------|------------------|--------------------------------|---------------------------------|
| $\text{LaF}_3$ | полиэтилен       | 95                             | 90                              |
| $\text{LaF}_3$ | полиакрилонитрил | >98                            | 22                              |
| $\text{LaF}_3$ | силикагель       | 93                             | 92                              |
| $\text{CeF}_3$ | полиэтилен       | >98                            | 94                              |
| $\text{CeF}_3$ | силикагель       | 97                             | 95                              |

Таблица 2

## Степень извлечения мешающих радионуклидов

| Препаратор             | Степень извлечения, % |              |                  |                 |                 |
|------------------------|-----------------------|--------------|------------------|-----------------|-----------------|
|                        | $\text{Y(III)}$       | $\text{K}^+$ | $\text{Bi(III)}$ | $\text{Pb(II)}$ | $\text{Th(IV)}$ |
| $\text{Y}_2\text{O}_3$ | 40÷60                 | <1           | >99              | 45              | 33              |
| $\text{YF}_3$          | >99                   | <1           | 97               | <3              | <5              |
| $\text{LaF}_3$         | >99                   | <1           | 90               | 17              | 19              |
| $\text{CeF}_3$         | >99                   | <1           | 93               | 6               |                 |
| $\text{FeS}$           | 38                    |              | 99               |                 |                 |
| $\text{NiS}$           | 36                    |              | 97               |                 |                 |
| $\text{PbS}$           | 4÷9                   |              | 93               | 59              | <5              |

тельным концентрированием их на колонках, заполненных труднорастворимыми сульфидами металлов. Для этих целей были проведены соответствующие эксперименты с сульфидами железа, никеля и свинца. При концентрации Bi(III), соответствующей его концентрации в морской воде ( $\sim 2 \cdot 10^{-8}$  г/л), он быстро (за 5–10 мин) и почти количественно извлекается данными сульфидами, но только сульфид свинца при этом не извлекает Y(III). Заметим, что так как PbS не извлекает торий, для извлечения  $^{90}\text{Y}$  из морской воды необходимо использовать  $\text{YF}_3$ , на котором не будет накапливаться  $^{234}\text{Th}$  (а следовательно, и  $^{234\text{m}}\text{Ra}$ , мешающий определению  $^{90}\text{Y}$  по черенковскому излучению).

На основании вышесказанного была предложена следующая схема определения  $^{90}\text{Sr}$  в морской воде: пропускание морской воды через две последовательно соединенные колонки, заполненные  $\text{PbS}/\text{SiO}_2$  и  $\text{YF}_3/\text{SiO}_2$ , отсоединение колонки с  $\text{YF}_3$ , элюирование  $^{90}\text{Y}$  смесью 20%  $\text{HNO}_3$  + 5%  $\text{H}_3\text{BO}_3$  и измерение активности  $^{90}\text{Y}$  в полученном растворе по интенсивности черенковского излучения.

Была рассмотрена возможность автоматизации разрабатываемой схемы. Для этого было предложено проводить непосредственные измерения интенсивности черенковского излучения  $^{90}\text{Y}$ , находящегося в

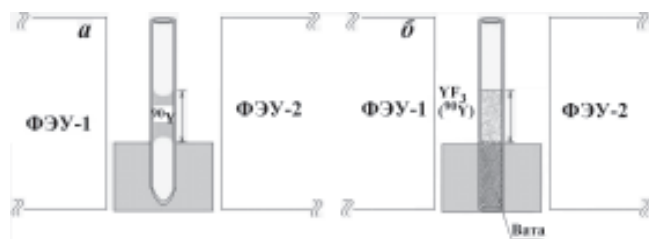


Рис. 4. Измерение интенсивности черенковского излучения:  
а –  $^{90}\text{Y}$  в растворе; б –  $^{90}\text{Y}$ , нанесенного на  $\text{YF}_3$

колонках с  $\text{YF}_3$ . В запаянную снизу стеклянную трубку (внутренний диаметр около 4 мм, толщина стенок около 1 мм, длина 6 см) был помещен раствор  $^{90}\text{Sr}$ , находящийся в равновесии с  $^{90}\text{Y}$  (рис. 4, а). В другую трубку таких же размеров поместили образец  $\text{YF}_3$  с предварительно нанесенным  $^{90}\text{Y}$  такой же активности. Верхний и нижний уровень препарата и раствора  $^{90}\text{Y}$  совпадали (рис. 4, б). С помощью жидкостно-сцинтилляционного спектрометра измеряли интенсивность черенковского излучения. В случае  $^{90}\text{Y}$ , нанесенного на  $\text{YF}_3$ , интенсивность была приблизительно в 1,5 раза выше, чем в случае водного раствора  $^{90}\text{Y}$ , что может объясняться увеличением выхода черенковских фотонов с ростом коэффициента преломления среды.

Работа выполнена при содействии Фонда поддержки отечественной науки и РФФИ  
(проект № 05-05-64687-а).

## СПИСОК ЛИТЕРАТУРЫ

- Сапожников Ю. А., Алиев Р. А., Калмыков С. Н. Радиоактивность окружающей среды. М., 2006.
- Villars P., Cenzual K., Daams J., et al. Structure Types. Part 1: Space Groups (230)Ia-3d-(219)-F 43-c. // Landolt-Bornstein - Group III Condensed Matter Numerical Data and Functional Relationships in Science and Technology. Berlin, 2004. P. 357.

Поступила в редакцию 26.06.08

## RAPID DETERMINATION OF STRONTIUM-90 IN SEAWATER

**P.S. Butkalyuk, Y.A. Sapozhnikov**

(Division of Radiochemistry)

It was shown, that preconcentration of  $^{90}\text{Y}$  from seawater by  $\text{Y}_2\text{O}_3$ ,  $\text{YF}_3$ ,  $\text{LaF}_3$  and  $\text{CeF}_3$  is possible.  $\text{YF}_3$  is the best of all from this viewpoint, because it don't adsorbs the radioisotopes of Pb (II) and Th (IV). The interference of  $^{210}\text{Bi}$  can be eliminated by preconcentration its on  $\text{PbS}$ . Measurements of  $^{90}\text{Y}$  by Cherenkov radiation without its elution from column was suggested.

**Ключевые слова:**  $^{90}\text{Sr}$ ,  $\text{YF}_3$ , seawater, Cherenkov radiation.

**Сведения об авторах:** Буткалюк Павел Сергеевич – выпускник кафедры радиохимии химического факультета МГУ; Сапожников Юрий Александрович – вед. науч. сотр. кафедры радиохимии химического факультета МГУ, докт. хим. наук (yas@radio.chem.msu.ru).